



INSTITUTO
SUPERIOR
TÉCNICO

Teoria dos Circuitos e Fundamentos de Electrónica

Mestrado em Engenharia Física Tecnológica (MEFT)
Mestrado em Engenharia Biomédica (MEBiom)

Soluções da Colectânea de Problemas

- 1 – Teoria dos Circuitos
- 2 – Circuitos com Amplificadores Operacionais
- 3 – Circuitos com Díodos
- 4 – Circuitos com Transístores de Junção Bipolar

**Fernando Gonçalves
Teresa Mendes de Almeida**

DEEC – Área Científica de Electrónica

Dezembro de 2007

PARTE 1 – Teoria dos Circuitos

- 1.1** a) $R_{18} = R_{12} + R_{34} + R_{56} + R_{78}$
b) $R_{15} = (R_{12} + R_{34}) // (R_{87} + R_{65})$
c) $R_{12} = R_{12} // (R_{34} + R_{56} + R_{78})$
d) $R_{14} = R_{12} // R_{34} // R_{56} // R_{78}$
- 1.2** $I_1 = 2 \text{ A}$
- 1.3** a) Nós = 4; Ramos = 6
b) $I_4 = -4 \text{ A}$; $V_2 = 50 \text{ V}$
c) $R_1 = 4 \Omega$; $R_2 = 6,25 \Omega$
- 1.4** a) $R_1 = 19 \Omega$; $R_2 = 2,22 \Omega$
b) $P = -280 \text{ W}$
- 1.5** a) $V_{IN} = -26 \text{ V}$; $V_S = 6 \text{ V}$
b) $P = -320 \text{ W}$
- 1.6** $R_4 = 8,2 \Omega$
- 1.7** a) $V_S = 300 \text{ V}$
b) $V_S = 120 \text{ V}$
c) $I_0 = 0,333 \text{ A}$
- 1.8** a) $R_L = 6 \Omega$
b) $I_{V1} = 0,625 \text{ A}$
- 1.9** $I_X = -1,14 \text{ A}$
- 1.10** a) $V_{OC} = -22,5 \text{ V}$; $I_{SC} = -2,4 \text{ A}$; $R_{TH} = 9,375 \Omega$
- 1.11** $V_{TH} = 10 \text{ V}$; $R_{TH} = 16 \Omega$
- 1.12** a) $V_{TH} = 32 \text{ V}$; $I_N = 8 \text{ A}$; $R_{TH} = R_N = 4 \Omega$
b) $V_{TH} = 48,571 \text{ V}$; $I_N = 15 \text{ A}$; $R_{TH} = R_N = 3,238 \Omega$
- 1.13** a) $V_{TH} = \frac{R_2}{R_1 + R_2 - \alpha} V_S$; $I_N = \frac{V_S}{R_1}$; $R_{TH} = R_N = \frac{R_1 R_2}{R_1 + R_2 - \alpha}$
b) Quando $\alpha > R_1 + R_2 \Rightarrow R_{TH}$ negativa
- 1.14** a) $V_S = 5 \text{ V}$; $V_1 = V_2 = 1 \text{ V}$; $V_3 = 0,5 \text{ V}$
b) $V_{TH} = 0,5 \text{ V}$; $R_{TH} = 625 \Omega$
c) $R_X = 625 \Omega$
- 1.15** a) $V_{TH} = V_S \frac{R_3}{R_1 + R_3} + I_S [R_2 + (R_1 // R_3)]$; $R_{TH} = R_2 + (R_1 // R_3)$
b) $R_{TH} = R_L // [R_2 + (R_1 // R_3)]$; $V_{TH} = \frac{V_S R_L R_3 + I_S [R_L (R_1 R_2 + R_1 R_3 + R_2 R_3)]}{R_L R_1 + R_L R_3 + R_1 R_2 + R_1 R_3 + R_2 R_3}$
- 1.16** a) $V_{TH} = 2 \text{ V}$; $R_{TH} = 1 \text{ k}\Omega$
b) $I = 1 \text{ mA}$
- 1.17** a) $V_{AB} = -0,5 \text{ V}$
b) $I_{CC} = -1 \text{ mA}$
c) $I_N = -1 \text{ mA}$; $R_N = 500 \Omega$
- 1.18** a) $V_{TH} = 1 \text{ V}$; $R_{TH} = 2 \text{ k}\Omega$
b) $I_N = 0,5 \text{ mA}$; $R_N = R_{TH} = 2 \text{ k}\Omega$
c) $R_5 = 2 \text{ k}\Omega$

1.19 $V_A = V_1 = 28 \text{ V}$; $V_B = 10 \text{ V}$; $V_C = 20 \text{ V}$
 $I_{R1} = -1 \text{ A}$; $I_{R2} = 3 \text{ A}$; $I_{R3} = -2 \text{ A}$; $I_{R4} = 5 \text{ A}$; $I_{R5} = -1 \text{ A}$; $I_{V1} = 4 \text{ A}$

1.20 a) $V_X = -2,0909 \text{ V}$; $I_Y = -4,364 \text{ A}$
b) $V_{TH} = -2,333 \text{ V}$; $I_N = -0,875 \text{ A}$; $R_{TH} = R_N = 2,666 \Omega$

1.21 $V_X = 171,64 \text{ V}$; $V_Y = -17,44 \text{ V}$

1.22 a) $V_C = -60,87 \text{ V}$
b) $P = 195,65 \text{ W}$

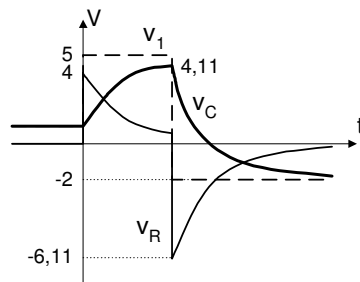
1.23 a) $V_1 = 6 \text{ V}$; $V_2 = 4,23 \text{ V}$; $V_3 = -8 \text{ V}$; $V_4 = 8,84 \text{ V}$
b) $P = -10,6 \text{ W}$

1.24 a) $t = 1 \text{ s}$: $v_C = 3,6789 \text{ V}$; $i = 3,6789 \mu\text{A}$
 $t = 2 \text{ s}$: $v_C = 1,353 \text{ V}$; $i = 1,353 \mu\text{A}$
 $v_C(t) = 10e^{-t} \text{ (V)}$; $i(t) = 10e^{-t} \text{ (}\mu\text{A)}$
b) $t = 693,3 \text{ ms}$
c) $R = 621,3 \text{ k}\Omega$

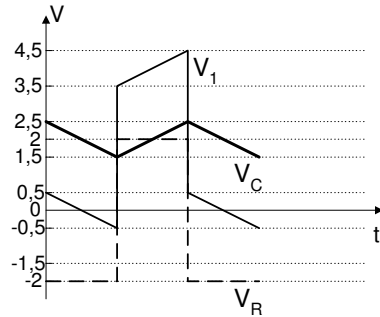
1.25 a) $t = 0,5\tau$: $v_C = 3,94 \text{ V}$; $v_R = 6,06 \text{ V}$; $i = 6,06 \text{ mA}$
 $t = \tau$: $v_C = 6,32 \text{ V}$; $v_R = 3,68 \text{ V}$; $i = 3,68 \text{ mA}$
 $t = 2\tau$: $v_C = 8,64 \text{ V}$; $v_R = 1,36 \text{ V}$; $i = 1,36 \text{ mA}$
 $t = 3\tau$: $v_C = 9,50 \text{ V}$; $v_R = 0,50 \text{ V}$; $i = 0,50 \text{ mA}$
 $t = 4\tau$: $v_C = 9,81 \text{ V}$; $v_R = 0,19 \text{ V}$; $i = 0,19 \text{ mA}$
 $t = 5\tau$: $v_C = 9,93 \text{ V}$; $v_R = 0,07 \text{ V}$; $i = 0,07 \text{ mA}$
 $v_C(t) = 10(1 - e^{-10^6 t}) \text{ (V)}$; $v_R(t) = 10e^{-10^6 t} \text{ (V)}$; $i(t) = 10e^{-10^6 t} \text{ (mA)}$
b) $t = 2,1927 \mu\text{s}$

1.26
$$v_C(t) = \begin{cases} 1 & , t \leq 0 \\ 5 - 4e^{-10^4 t} & , 0 \leq t \leq 150 \mu\text{s} \\ -2 + 6,11e^{-10^4(t-t_1)} & , t \geq 150 \mu\text{s} \end{cases} \text{ [V]}$$

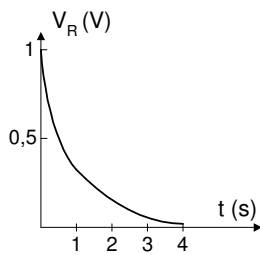
$$v_R(t) = \begin{cases} 0 & , t \leq 0 \\ 4e^{-10^4 t} & , 0 \leq t \leq 150 \mu\text{s} \\ -6,11e^{-10^4(t-t_1)} & , t \geq 150 \mu\text{s} \end{cases} \text{ [V]}$$



1.27 $v_{C \text{ máx}} = 2,5 \text{ V}$; $v_{C \text{ min}} = 1,5 \text{ V}$



- 1.28** a) $\tau = RC = 1 \text{ s}$
b) $V_C(t) = e^{-t} \text{ [V]}$
c) $V_C(1 \text{ s}) = 0,368 \text{ V}$; $V_C(4 \text{ s}) = 0,018 \text{ V}$
d) $V_R(t) = V_C(t) = e^{-t}$

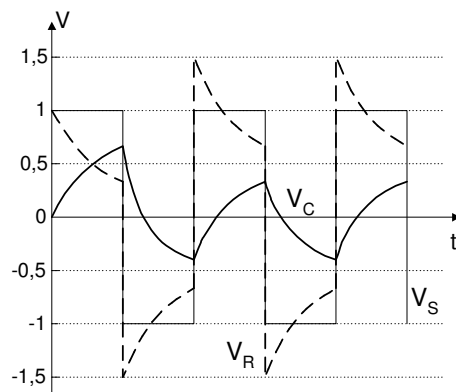


- e) $R \gg 1 \Omega \Rightarrow \tau \text{ maior} \Rightarrow \text{descida mais lenta}$
 $R \ll 1 \Omega \Rightarrow \tau \text{ menor} \Rightarrow \text{descida mais rápida}$

- 1.29**
$$V_C(t) = \begin{cases} 1 - (1 - V_C(t_n))e^{-(t-t_n)} & \text{quando } V_S = 1 \text{ V} \\ -1 - (-1 - V_C(t_n))e^{-(t-t_n)} & \text{quando } V_S = -1 \text{ V} \end{cases}$$

$$V_R(t) = \begin{cases} (1 - V_C(t_n))e^{-(t-t_n)} & \text{quando } V_S = 1 \text{ V} \\ -(1 + V_C(t_n))e^{-(t-t_n)} & \text{quando } V_S = -1 \text{ V} \end{cases}$$

 t_n representa o tempo no início de cada troço



- 1.30** Para o circuito da figura (a): $Z = \frac{C_1 + C_2 + C_3}{j\omega C_1(C_2 + C_3)}$
Para o circuito da figura (b): $Z = j\omega \left(L_1 + \frac{L_2 L_3}{L_2 + L_3} \right)$

$$1.31 \quad \left| \frac{V_{OUT}}{V_{IN}} \right| = \frac{\omega C_1 R_1}{\sqrt{(1 - \omega^2 C_1 C_2 R_1 R_2)^2 + \omega^2 (C_1 R_1 + C_2 R_1 + C_2 R_2)^2}}$$

$$1.32 \quad a) \quad \frac{V_O}{V_S} = \frac{1}{1 + j\omega RC}$$

$$b) \quad \left| \frac{V_O}{V_S} \right| = \frac{1}{\sqrt{1 + \omega^2 C^2 R^2}}; \text{freq} = 159 \text{ Hz}$$

$$1.33 \quad a) \quad \frac{V_O}{I_S} = \frac{j\omega LR}{R + j\omega L}$$

$$b) \quad \left| \frac{V_O}{I_S} \right| = \frac{\omega RL}{\sqrt{R^2 + \omega^2 L^2}}; \text{freq} = 112,5 \text{ Hz}$$

$$1.34 \quad V_{ab} = \frac{j\omega C_2 R_1 R_2}{1 + j\omega C_2 (R_1 + R_2)} I_S$$

$$Z = \frac{R_2 + j\omega C_2 R_1 R_2}{1 + j\omega C_2 (R_1 + R_2)}$$

$$1.35 \quad \text{Para o circuito da figura (a): } Z = j \left[\omega L_1 - \frac{1}{\omega C_1} \frac{1 - \omega^2 C_2 L_2}{1 + \frac{C_2}{C_1} - \omega^2 C_2 L_2} \right]$$

$$\text{Para o circuito da figura (b): } Z = j \left[\frac{\omega L_1 (1 - \omega^2 L_2 C_2)}{1 - \omega^2 C_2 (L_1 + L_2)} - \frac{1}{\omega C_1} \right]$$

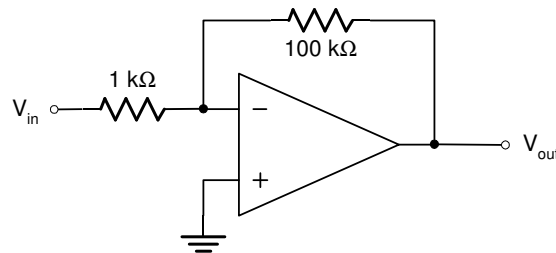
$$1.36 \quad Z = \frac{R_1 (C_1 + C_2)}{C_1 + C_2 + j\omega C_1 C_2 R_1}$$

$$V_{ab} = \frac{R_1 C_2}{C_1 + C_2 + j\omega C_1 C_2 R_1} I_S + \frac{j\omega C_1 C_2 R_1}{C_1 + C_2 + j\omega C_1 C_2 R_1} V_S$$

PARTE 2 – Circuitos com Amplificadores Operacionais

$$2.1 \quad V_S = -1 \text{ V}$$

2.2



$$2.3 \quad \frac{V_{out}}{V_{in}} = -\frac{R_2}{R_1} \left(1 + \frac{R_3}{R_2} + \frac{R_3}{R_4} \right)$$

2.4 $V_{o1} = -10 \text{ V}$; $V_{out} = 12 \text{ V}$ (tensão de saturação positiva)

2.5 a) $V_{out} = \frac{R_3 + R_4}{R_3} \frac{R_2}{R_1 + R_2} V_1$

b) $V_{out} = -\frac{R_4}{R_3} V_2$

c) $V_{out} = \frac{R_3 + R_4}{R_3} \frac{R_2}{R_1 + R_2} V_1 - \frac{R_4}{R_3} V_2$

d) $R_2 = 2R_1$ e $R_4 = 2R_3$

2.6 a) $V_{out} = -R_3 \left(\frac{V_1}{R_1} + \frac{V_2}{R_2} \right)$

b) $V_{out} = \frac{(R_1 // R_2) + R_3}{R_1 // R_2} V_3$

c) $V_{out} = -R_3 \left(\frac{V_1}{R_1} + \frac{V_2}{R_2} \right) + \frac{(R_1 // R_2) + R_3}{R_1 // R_2} V_3$

d) $R_1 = R_2 = R_3$

2.7 a) $V_{out} = \frac{R_3 + R_4}{R_3(R_1 + R_2)} (R_2 V_1 + R_1 V_2) - \frac{R_4}{R_3} V_3$

b) $R_2 = 5 \text{ k}\Omega$; $R_4 = 40 \text{ k}\Omega$

c) $R_1 = R_2$ e $R_4 = 3R_3$

2.8 a) $V_{out} = -\frac{R_3}{R_1} V_1 - \frac{R_3}{R_2} V_2 + \frac{R_5}{R_4 + R_5} \left(1 + \frac{R_3}{R_1 // R_2} \right) V_3$

b) $R_1 = R_2 = R_3$ e $R_4 = 8R_5$

2.9 a) Para V_1 : $V_{out} = \frac{R_3 + R}{R_3} \frac{R_2}{R_1 + R_2} V_1$

Para V_2 : $V_{out} = \frac{R_3 + R}{R_3} \frac{R_1}{R_1 + R_2} V_2$

Para V_3 : $V_{out} = -\frac{R}{R_3} V_3$

b) $V_{out} = \frac{R_3 + R}{R_3(R_1 + R_2)} (R_2 V_1 + R_1 V_2) - \frac{R}{R_3} V_3$

c) $R_2 = 2 \text{ k}\Omega$; $R_3 = 1 \text{ k}\Omega$

d) $V_{max} = 12 \text{ V}$

2.10 a) $G_c = 0$; $G_d = 1$; $RRMC = \infty$

b) $G_c = 0,0099$; $G_d = 0,985$; $RRMC = 99,5$

c) Se R_4 sofrer um desvio equivalente ao de R_2 (-1 %) e R_3 um desvio equivalente ao de R_1 (+1 %), o ganho de modo comum volta a ser nulo.

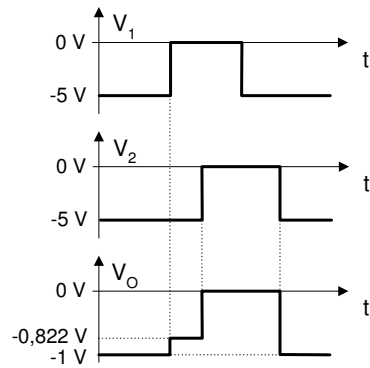
PARTE 3 – Circuitos com Díodos

3.1 a) $R_2 = 4 \text{ k}\Omega$

b) $V_O = -0,822 \text{ V}$

c) $V_O = 0 \text{ V}$

d)



- 3.2 a) $V_O = -0,45 \text{ V}$
b) $V_{TH} = -0,45 \text{ V}$; $R_{TH} = 0,909 \text{ k}\Omega$
c) $R_2 < 612 \Omega$

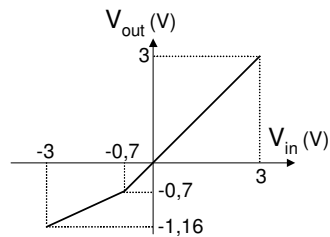
- 3.3 a) $V_O = 5 \text{ V}$
b) $V_O = 1 \text{ V}$
c) $V_O = 0,81 \text{ V}$

- 3.4 a) $I_{R3} = 3,75 \text{ mA}$
b) $V_{D2} = -7,5 \text{ V}$

- 3.5 a) $R_L < 60,63 \Omega$
b) $R_1 > 39,84 \Omega$

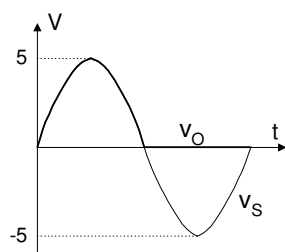
- 3.6 a) $V_{out} = \begin{cases} 10 & \text{para } V_{in} < 10 \text{ V} \\ V_{in} & \text{para } V_{in} \geq 10 \text{ V} \end{cases}$
b) $I_{R1} = \begin{cases} 0 & \text{para } V_{in} < 10 \text{ V} \\ \frac{V_{in} - 10}{R_1} & \text{para } V_{in} \geq 10 \text{ V} \end{cases}$
c) $V_{out} = \begin{cases} 9,3 & \text{para } V_{in} < 10 \text{ V} \\ V_{in} - 0,7 & \text{para } V_{in} \geq 10 \text{ V} \end{cases}$

- 3.7 a) $V_{out} = \begin{cases} \frac{V_{in} - 2,8}{5} & \text{para } -3 \text{ V} < V_{in} \leq -0,7 \text{ V} \\ V_{in} & \text{para } -0,7 \text{ V} \leq V_{in} < 3 \text{ V} \end{cases}$

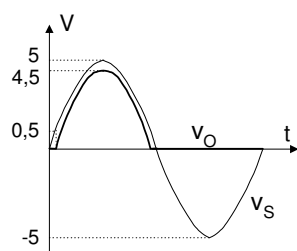


- b) $-286,7 \text{ V} < V_{in} < 26,7 \text{ V}$

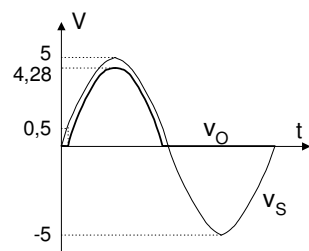
3.8 a)



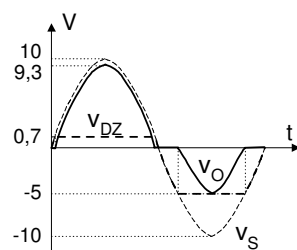
b)



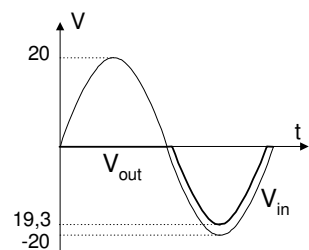
c)



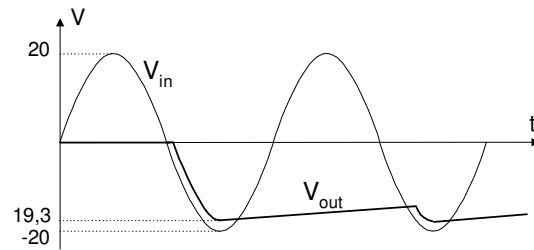
3.9



3.10 a) Rectificador de meia-onda negativo

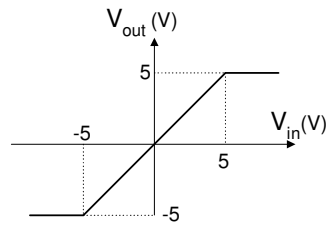


b)

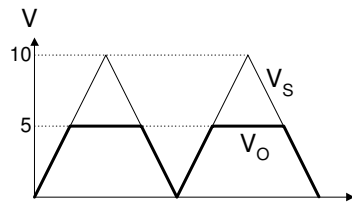


c) O condensador descarrega mais rapidamente \Rightarrow maior oscilação da onda de saída

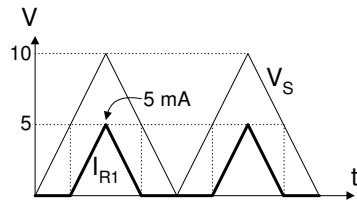
3.11



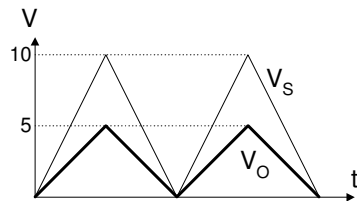
3.12 a)



b)

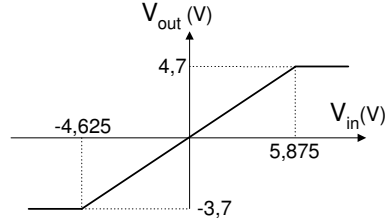


c)



3.13 a) $V_{in1} = 5,875 \text{ V}$; $V_{in2} = -4,625 \text{ V}$

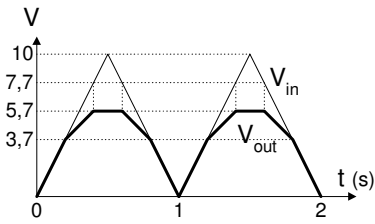
$$b) V_{out} = \begin{cases} -3,7 & \text{para } V_{in} < -4,625 \text{ V} \\ 0,8V_{in} & \text{para } -4,625 \text{ V} \leq V_{in} < 5,875 \text{ V} \\ 4,7 & \text{para } V_{in} \geq 5,875 \text{ V} \end{cases}$$



c) $I_{D1\max} = 2,06 \text{ mA}$; $I_{D2\max} = 2,68 \text{ mA}$

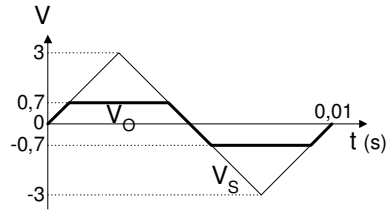
3.14 a)
$$V_{\text{out}} = \begin{cases} V_{\text{in}} & \text{para } V_{\text{in}} < 3,7 \text{ V} \\ 1,85 + \frac{V_{\text{in}}}{2} & \text{para } 3,7 \text{ V} \leq V_{\text{in}} < 7,7 \text{ V} \\ 5,7 & \text{para } V_{\text{in}} \geq 7,7 \text{ V} \end{cases}$$

b)



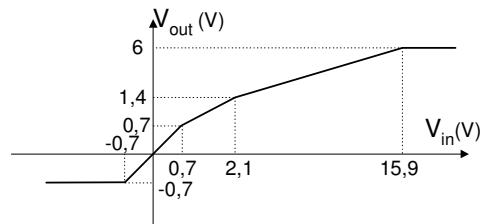
c) $I_{\text{inMax}} = 4,3 \text{ mA}$

3.15 a)



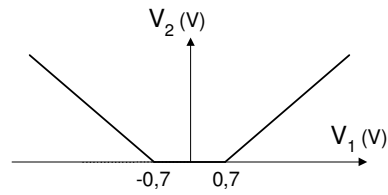
b) $I_{R1\max} = 1,15 \text{ mA}$

3.16 a)
$$V_{\text{out}} = \begin{cases} -0,7 & \text{para } V_{\text{in}} < -0,7 \text{ V} \\ V_{\text{in}} & \text{para } -0,7 \text{ V} \leq V_{\text{in}} < 0,7 \text{ V} \\ \frac{V_{\text{in}}}{2} + 0,35 & \text{para } 0,7 \text{ V} \leq V_{\text{in}} < 2,1 \text{ V} \\ \frac{V_{\text{in}}}{3} + 0,7 & \text{para } 2,1 \text{ V} \leq V_{\text{in}} < 15,9 \text{ V} \\ 6 & \text{para } V_{\text{in}} \geq 15,9 \text{ V} \end{cases}$$

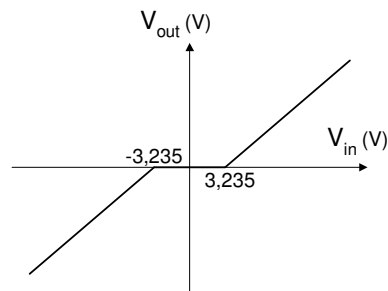


b) $P_{z\max} = 144,6 \text{ mW}$

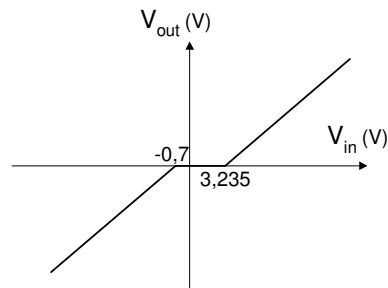
$$3.17 \quad V_2 = \begin{cases} -0,9 V_1 - 0,63 & \text{para } V_1 < -0,7 \text{ V} \\ 0 & \text{para } -0,7 \text{ V} \leq V_1 \leq 0,7 \text{ V} \\ 0,9 V_1 - 0,63 & \text{para } V_1 > 0,7 \text{ V} \end{cases}$$



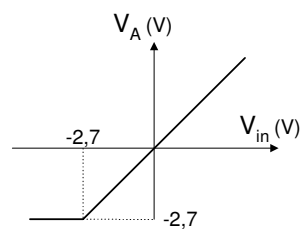
$$3.18 \quad \text{a) } V_{\text{out}} = \begin{cases} 0,9478 V_{\text{in}} + 3,066 & \text{para } V_{\text{in}} < -3,235 \text{ V} \\ 0 & \text{para } -3,235 \text{ V} \leq V_{\text{in}} \leq 3,235 \text{ V} \\ 0,9478 V_{\text{in}} - 3,066 & \text{para } V_{\text{in}} > 3,235 \text{ V} \end{cases}$$



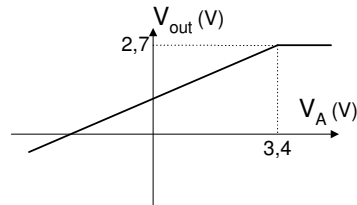
$$\text{b) } V_{\text{out}} = \begin{cases} V_{\text{in}} + 0,7 & \text{para } V_{\text{in}} < -0,7 \text{ V} \\ 0 & \text{para } -0,7 \text{ V} \leq V_{\text{in}} \leq 3,235 \text{ V} \\ 0,9478 V_{\text{in}} - 3,066 & \text{para } V_{\text{in}} > 3,235 \text{ V} \end{cases}$$



$$3.19 \quad \text{a) } V_A = \begin{cases} -2,7 & \text{para } V_{\text{in}} < -2,7 \text{ V} \\ V_{\text{in}} & \text{para } V_{\text{in}} \geq -2,7 \text{ V} \end{cases}$$

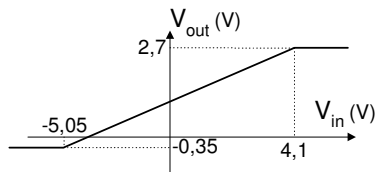


$$\text{b) } V_{\text{out}} = \begin{cases} \frac{V_A + V_R}{2} & \text{para } V_A < 3,4 \text{ V} \\ \frac{2}{2,7} & \text{para } V_A \geq 3,4 \text{ V} \end{cases}$$



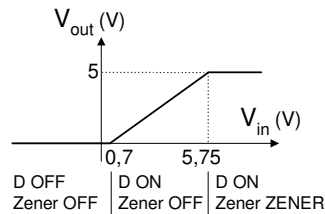
c) $V_{out} = 1,33 \text{ V}$

d)
$$V_{out} = \begin{cases} -0,35 & \text{para } V_{in} < -5,05 \text{ V} \\ \frac{V_{in} + 2V_R}{3} & \text{para } -5,05 \text{ V} \leq V_{in} \leq 4,1 \text{ V} \\ 2,7 & \text{para } V_{in} > 4,1 \text{ V} \end{cases}$$

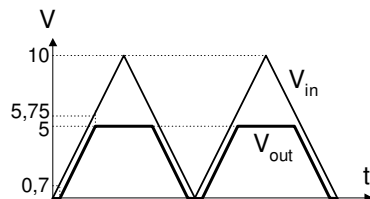


e) $P_{zmax} = 9,9 \text{ mW}$

3.20 a)
$$V_{out} = \begin{cases} 0 & \text{para } V_{in} < 0,7 \text{ V} \\ \frac{R_1}{R_1 + R_D} (V_{in} - 0,7) & \text{para } 0,7 \text{ V} \leq V_{in} \leq 5,75 \text{ V} \\ 5 & \text{para } V_{in} > 5,75 \text{ V} \end{cases}$$



b)

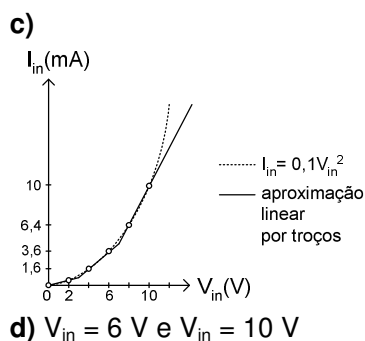


c) R_1 : Evita que o nó de saída fique em alta-impedância quando os díodos estão cortados

R_2 : Polariza o diodo Zener

3.21 a) $R_1 = 5 \text{ k}\Omega$; $R_2 = R_3 = 1,25 \text{ k}\Omega$

b) Em ambos os casos o erro é de 0,3 mA



PARTE 4 – Circuitos com Transístores de Junção Bipolar

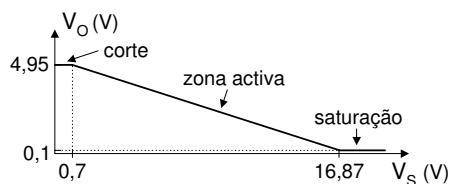
4.1 a) $I_C = 9,2 \text{ mA}$

b) $V_{CE} = 1,5 \text{ V}$

4.2 a) $R_C = 3 \text{ k}\Omega$; $R_B = 565 \text{ k}\Omega$

b) $I_C = 0,8 \text{ mA}$; $V_{CE} = 9,6 \text{ V}$

4.3



4.4 $I_B = 0,1 \text{ mA}$; $I_C = 3 \text{ mA}$; $V_o = 2 \text{ V}$

4.5 $I_C = 1,29 \text{ mA}$; $V_{CE} = 13,96 \text{ V}$

Se R_2 estiver desligada, o transístor fica saturado

4.6 $I_C = 5,64 \text{ mA}$; $V_{CE} = -3,54 \text{ V}$

4.7 a) $R_1 = 106,45 \text{ k}\Omega$

b)
$$I_C = \frac{V_{CC} - V_{BEON}}{(R_C + R_E) \frac{\beta + 1}{\beta} + \frac{R_1}{\beta}} = 3,11 \text{ mA}$$

4.8 $V_2 - V_1 = -7,85 \text{ V}$; limites de validade: $8,05 \text{ V} < V_1 < 15,5 \text{ V}$

4.9 a) $I_{C1} = 501 \text{ mA}$; $V_{CE1} = 2,5 \text{ V}$

b)
$$I_{C1}(\text{mA}) = \begin{cases} \beta I_{in} & \text{para } I_{in} < 48 \mu\text{A} \\ \frac{I_{in}}{\beta} + 24 & \text{para } I_{in} \geq 48 \mu\text{A} \end{cases}$$

c) $R_1 = 20 \Omega$

4.10 a) $I_C = 277 \mu\text{A}$ (corrente I_B foi desprezada)

b) $V_{CE} = 4,75 \text{ V}$

4.11 a) $I_C = 758 \mu\text{A}$

b) $V_{CE} = 2,91 \text{ V}$

c) $V_E = -0,94 \text{ V}$

d) $V_{BC} = -2,31 \text{ V}$

e) O condensador evita que o ponto de funcionamento em repouso do transistor seja afectado pela tensão de entrada, V_{in} .

- 4.12** a) $I_C = 2,71 \text{ mA}$; $V_{CE} = 4,037 \text{ V}$
 b) $I_C = 2,68 \text{ mA}$; $V_{CE} = 4,093 \text{ V}$
 c) Redução de 50% do ganho conduziu a pequenas variações de I_C e V_{CE}

- 4.13** a) $R_E = 4,95 \text{ k}\Omega$
 b) Sem R_L : $R_B = 500 \text{ k}\Omega$; Com R_L : $R_B = 84 \text{ k}\Omega$

- 4.14** a) $I_C = 4 \text{ mA}$; $V_{CE} = 2,575 \text{ V}$
 b) $R_{in} = 6,57 \text{ k}\Omega$
 c) $G = 1$

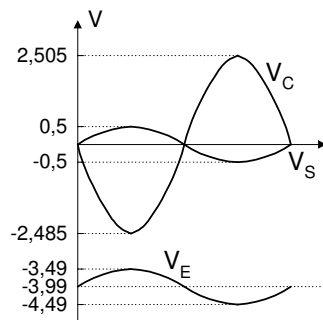
- 4.15** a) $R_E = 2 \text{ k}\Omega$
 b) $R_1 = 20 \text{ k}\Omega$
 c) $R_C = 1,01 \text{ k}\Omega$
 d) $C = 88 \text{ nF}$

- 4.16** a) $I_E = 5 \text{ mA}$
 b) $R_2 = 255 \text{ k}\Omega$
 c) $R_B = 75,5 \text{ k}\Omega$
 d) $C = 1,8 \text{ nF}$

- 4.17** a) $I_C = 406 \mu\text{A}$; $V_{CE} = 7,3 \text{ V}$
 b) $R_B = 60,6 \text{ k}\Omega$
 c) $R_{in} = 35,7 \text{ k}\Omega$
 d) $G = -10$

- 4.18** a) $R_1 = 83,2 \text{ k}\Omega$; $R_2 = 16,8 \text{ k}\Omega$; $R_C = 2,196 \text{ k}\Omega$
 b) $R_{in} = 8,66 \text{ k}\Omega$; $R_{out} = 113 \Omega$
 c) $G = -7,22$
 d) $R_1 = 61,6 \text{ k}\Omega$; $R_2 = 38,4 \text{ k}\Omega$; $R_C = R_E = 1,24 \text{ k}\Omega$

- 4.19** a) $R_2 = 5,023 \text{ k}\Omega$; $R_C = 2,495 \text{ k}\Omega$
 b) $v_E(t) = -3,99 + 0,5 \sin(\omega t)$
 $v_C(t) = 0,01 - 2,495 \sin(\omega t)$
 $v_c(t)$ e $v_e(t)$ estão em oposição de fase ($\Delta\phi = 180^\circ$)

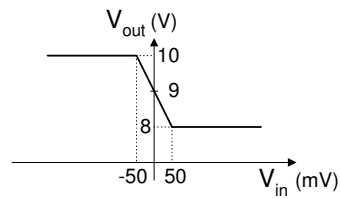


- 4.20** $I_{C2} = 1,3 \text{ mA}$

- 4.21** $R_1 = 1,38 \text{ k}\Omega$; $R_2 = 0,92 \text{ k}\Omega$

- 4.22** a) $I_{C2} = I_{C3} = 1 \text{ mA}$
 b) $P_{RC1} = 2,7 \text{ mW}$; $P_{RC2} = 5 \text{ mW}$; $P_{RC3} = 10 \text{ mW}$

$$4.23 \quad a) \quad V_{out} = \begin{cases} 10 & \text{para } V_{in} < -50 \text{ mV} \\ V_{CC} - R_{C1} \left(\frac{V_{in}}{2r_E} + \frac{I_{EE}}{2} \right) & \text{para } -50 \text{ mV} \leq V_{in} \leq 50 \text{ mV} \\ 8 & \text{para } V_{in} > 50 \text{ mV} \end{cases}$$



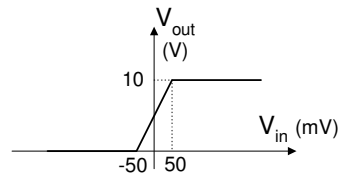
- b) $G_d = -20$
c) $G_c = -0,0005$
d) $RRMC = 40.000$

$$4.24 \quad a) \quad I_{C1} = I_{C2} = 1 \text{ mA}; r_E = 25 \Omega$$

b) $G_c = 0$
c) $G_d = 100$

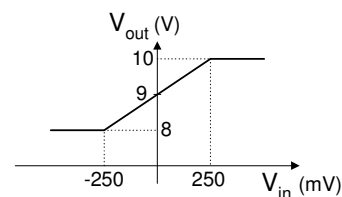
$$d) \quad V_{out} = \begin{cases} 0 & \text{para } V_{in} < -50 \text{ mV} \\ V_{CC} - R_{C2} \left(\frac{I_{EE}}{2} - \frac{V_{in}}{2r_E} \right) & \text{para } -50 \text{ mV} \leq V_{in} \leq 50 \text{ mV} \\ V_{CC} & \text{para } V_{in} > 50 \text{ mV} \end{cases}$$

O resultado da alínea c) aplica-se para $V_{in} \in [-50 \text{ mV}; 50 \text{ mV}]$



$$4.25 \quad a)$$

$$V_{out} = \begin{cases} V_{CC} - R_{C2}I_{EE} = 8 & \text{para } V_{in} < -(r_E + R_E)I_{EE} \\ V_{CC} - R_{C2} \left(\frac{I_{EE}}{2} - \frac{V_{in}}{2(r_E + R_E)} \right) & \text{para } -(r_E + R_E)I_{EE} \leq V_{in} \leq (r_E + R_E)I_{EE} \\ V_{CC} = 10 & \text{para } V_{in} > (r_E + R_E)I_{EE} \end{cases}$$



$$(r_E + R_E)I_{EE} = 250 \text{ mV}$$

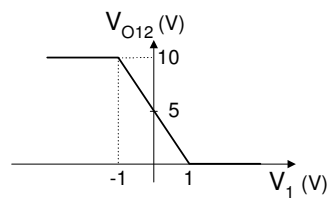
- b) $G_d = 4$
c) $G_c = -0,0005$
d) A anulação de R_{E1} e R_{E2} provoca uma diminuição da zona de funcionamento linear do par diferencial (zona com declive $\neq 0$). Com R_{E1} e R_{E2} essa região tinha uma largura de $2(r_E + R_E)I_{EE} = 0,5 \text{ V}$, passando a ter uma largura de $2r_E I_{EE} = 0,1 \text{ V}$ se R_{E1} e R_{E2} forem anuladas.

$$4.26 \quad a) \quad G_c = -0,001$$

b) $G_d = -20$
c) $RRMC = 20.000$

4.27 a) $V_X = -1,156 \text{ V}$

b) $V_{O12} = R_{C2} \left(\frac{I_{EE}}{2} - \frac{V_1}{2R_E} \right) = 5 - 5V_1$



c) $G_d = -5$

d)

